

실시간 연소제어를 위한 화염 내 라디칼 계측기법 연구

신명철^{**} · 김세원^{*} · 류태우^{*} · 권승진^{**}

An Experimental Study on the Measurement of Radicals in Flame for Real Time Combustion Control

Myung Chul Shin, Se Won Kim, Tae U Yu and Seung Jin Kwon

ABSTRACT

The present studying is aimed to establish the relationship between flame chemiluminescence(OH^* , CH^* , C_2^*) intensities and combustion conditions such as NO_x emission characteristics. Measurements are made for OH^* , CH^* , C_2^* radicals in gas & light oil diffusion flames. At turbulent nonpremixed combustion mode, the equivalence ratio is varied. The optical emissions were measured by photomultiplier(PMT) using optical band pass filter and spectrometer system. The experimental results showed that the ratio of radicals and NO_x emission characteristics have exponential correlations and equivalence ratio characteristics have linear correlations at this experimental conditions.

Key Words : Flame Chemiluminescence, Turbulent Flame, NOX, Equivalence ratio, Combustion Control

기호설명

AGV : Axial Global View
RGV : Radial Global View
RPV : Radial parallel View

OH^* : OH Radical
 CH^* : CH Radical
 C_2^* : C₂ Radical

1. 서 론

최근 산업용 연소 시스템에서 에너지자원의 부족과 배기가스 배출규정 강화에 따라 시스템의 효율증가와 배기가스 저감을 동시에 구현할 수 있는 기술에 대한 관심이 높아졌다. 이러한 연구의 한 방향으로 화염을 실시간 계측하여 당량비와 부하를 조절하는 연소제어(Combustion control)에 대한 연구가 활발히 진행되고 있다. 그러나 기존의 산소 트리밍(O₂ trimming)의 방식과 같은 계측기를 이용하여 연소제어를 수행하는 것은 계측기의 응답성이 빠르지 못하다는 단점이 있다. 이러한 필요조건을 만족시키기 위해 응답

속도가 빠르고 화염의 유동에 영향을 미치지 않는 비접촉식 계측으로서 레이저 유도 형광법(LIF), 파장 가변형 다이오드 레이저 분광학(TDLAS)등의 광학적 계측방법이 대두되었다. 이러한 광학적 계측 방법의 한가지로 연소반응의 화학적 메커니즘에 따라 생성되는 특정 화학종의 화학적 발광(Chemiluminescence) 신호를 계측하는 방법은 광학소자기술의 발전에 힘입어 최근 활발히 연구되고 있다.

Higgins[4-5]등은 충류 예혼합화염에서 당량비와 압력변화에 따른 OH^* 과 CH^* 의 강도가 당량비에 비례관계를 밝히고 이를 온도와 압력의 함수로 나타내었다. 또한 Kojima[6], Ikeda[7] 등은 충류 예혼합화염에서의 당량비와 자발광 강도비의 선형적 관계가 난류 예혼합 및 확산화염에서도 적용됨을 밝혔고, 이를 화염면의 국소지점의 구조를 파악하는데 활용하였다.

* 한국생산기술연구원

** 한양대학교

† 연락처자, mcshin@kitech.re.kr

Morrell[8], Muruganandam[9] 등은 당량비와 특정화학종간의 화염발광 신호비에 대한 선형적 관계를 도출하여 한계 희박연소 근처에서 가스터빈연소기의 운전제어를 위한 가능성을 제시하였고, Shahla[10], Carlos[11]등은 순 산소 유리용해로 시스템에서 화염 자발광 계측에 의한 멀티버너(Multi Burner)시스템의 효율향상에 관한 연구를 수행하였다.

이에 따라 본 연구에서는 이러한 계측 기법을 베너시스템의 연소제어에 적용하기 위해 난류화산 가스화염 및 난류 화산 경유화염에서 당량비에 따른 라디칼(Radical)의 특성변화를 실험적으로 규명하였다.

2. 실험 장치 및 방법

2.1 실험장치

2.1.1 연소 시스템

본 연구에 적용된 연소기는 난류화염 형태의 연소기이고, 정격 열용량은 40,000 kcal/h이며 경유버너의 경우 60°로 분사되는 압력식 단공 노즐을 사용하였다.

연소로는 800(W) × 800(H) × 1200(L) mm³의 사각로(Rectangular Furnace)를 사용하였고 내부에 단열재를 사용하여 단열하였다. 또한 광학적 접근이 용이하도록 후면부와 측면부에 석영관측창을 설치하였다.

연소공기와 경유의 공급은 열식 유량계와 공압식 밸브를 이용하여 실시간 비례적분제어를 통해 일정한 유량이 공급되도록 하였다.

가스는 상용 액화프로판가스를 사용하고 유량계는 로타메타를 사용하였다. 정확한 유량계측을 위해 유량계 전단에 압력조절기를 설치하였고 정밀한 유량조절을 위해 니들밸브를 설치하였으며 일정한 압력의 연료공급을 위해 밸브 전단에 압력조절기를 장착하였다. 가스 연료의 공급압력은 1000 mmAq이다.

또한 배기ガ스계측을 위해 배기단에 가스분석기를 설치하였으며 NO_x, CO, CO₂, O₂농도와 배기ガ스 온도를 실시간으로 계측하였다.

2.1.2 계측시스템

본 연구의 계측 시스템은 배기ガ스 계측기와 화염 내 자발광 계측기의 두 가지로 나뉜다.

배기ガ스 계측기는 Fig. 1과 같이 연소시스템의 배기단에 설치가 되었고, 라디칼 계측과 동시에 계측했다. 배기ガ스의 계측 주기는 1Hz이고 계측 데이터는 실시간으로 저장했다.

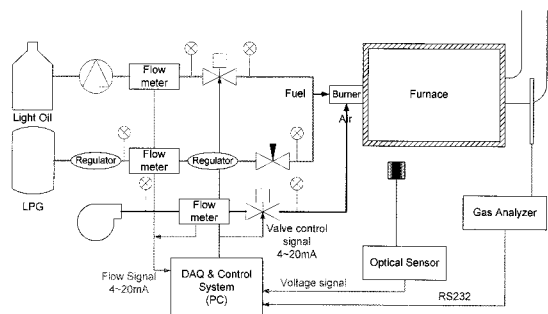


Fig. 1 Schematic of Combustion system & Sensor system

화염 내 자발광 계측기는 Fig. 2와 Fig. 3과 같이 분광기(Spectrometer)를 이용한 시스템과 광전증배판(PMT)과 간섭필터(Band pass filter)를 이용한 시스템으로 구성되어 진다. Fig. 2와 3에서 알 수 있듯이 화염자발광은 양 구면 렌즈(Bi-convex lens)로 이루어진 수광부(Optical head)를 통해 집광되어 광섬유(Optical fiber)를 통해 각각 분광기와 광전증배판으로 빛을 전달한다.

분광계측 시스템에서는 250 nm ~ 550 nm까지 0.3 nm의 분해능으로 파장별 계측하였고, 각각 5회 계측의 평균값을 나타냈다. 광섬유를 지나 시준기(collimator)로 집광되어 분광기로 들어온 광신호는 분광거울(Grating)을 통해 분광되어 광전증배판을 통해 전기적 신호로 계측된다.

광전증배판과 간섭필터를 이용한 시스템은 1개 코어(core)에서 3개의 코어로 나누어지는 광섬유

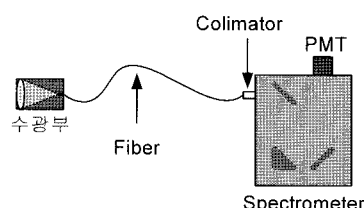


Fig. 2 Spectrometer System

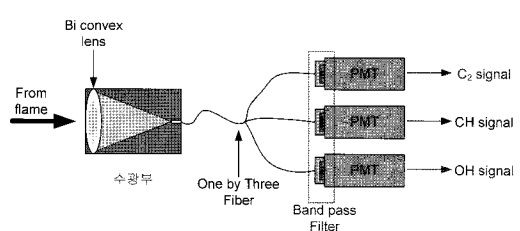


Fig. 3 PMT System

Table 1 Experimental Condition

Fuel	LPG Light-oil
Heat Input	40,000 Kcal/h
Excess Air Ratio	1.0, 1.1, 1.2, 1.3, 1.4, 1.5, 1.6, 1.7, 1.8
Fuel Pressure	1000 mmAq, 12 Kg/cm ²
Gas Analyzer Data Rate	1 Hz
PMT System Data Rate	100 Hz
Filter Transmission	308.7±10 nm 17 % 432.21±11 nm 50 % 511.32±9 nm 40 %

를 사용하여 각각의 광전증배판으로 광신호를 전달하도록 설치하였으며 광전증배판으로 광신호가 입력되기 직전에 간섭필터를 사용하여 각각의 파장대의 광 강도를 측정하도록 하였다. 간섭필터는 각각 OH*(308.7±10 nm), CH*(432.21±11 nm), C₂*(511.32±9 nm) 라디칼의 파장의 광신호만 통과 시킨다.

2.2 실험 방법

2.2.1 연소조건

Table 1에서 보는 바와 같이 베너의 열 부하 조건은 40,000 Kcal/h이며 상용 액화 프로판 가스와 상용 경유를 사용하였다. 일반 상용 베너의 운전 조건 영역을 대상으로 하여 당량비 1.0 이상의 화열을 계측하였으며, 가스와 경유의 공급압력은 레귤레이터를 이용하여 각각 1000 mmAq 와 12 Kg/cm²로 일정하게 공급하였다.

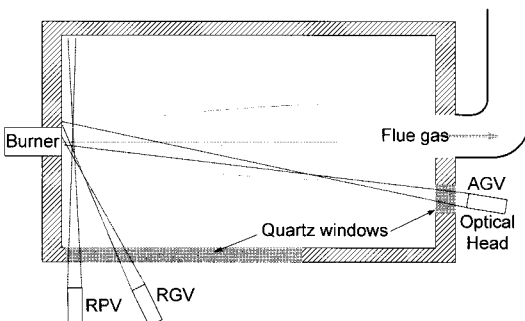


그림 4 Location & Focus of Optical Head

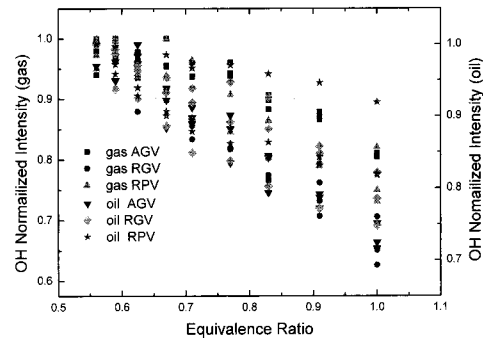


Fig. 5 OH radical normalized intensity for different view

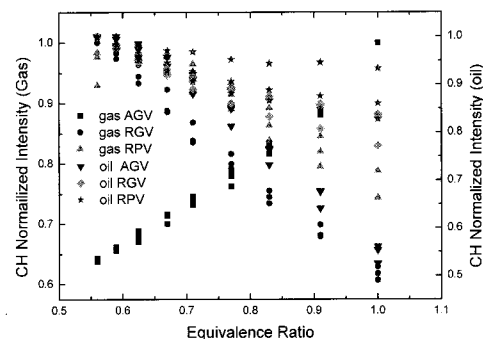
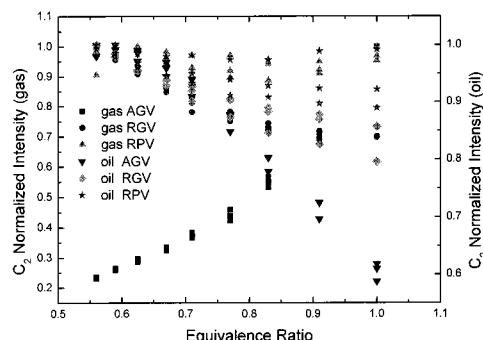


Fig. 6 CH radical normalized intensity for different view

Fig. 7 C₂ radical normalized intensity for different view

2.2.2 광계측 조건

관측위치를 정하기 위한 예비실험은 Fig. 4에서 나타난 3가지의 view에 따른 실험을 수행하였다. 여기서 AGV는 Axial Global View를 나타내어 화염 후단에서 계측하였고, RGV와 RPV는 각각 Radial Global View와 Radial Parallel View를 나타내어 화염의 측면에서 측정하였다.

Figure 5에서 Fig. 7은 계측위치에 따라서 계측되는 광량의 차이가 크기 때문에 각기 다른 3 가지 위치에서의 OH 라디칼과 CH 라디칼, C₂ 라디칼을 표준화하여 나타내었다. 그림을 살펴보면 측면에서의 라디칼강도는 당량비의 증가에 따라 감소하는 경향을 보이지만 화염 후단에서 계측한 데이터는 적염의 영향으로 인해 CH 라디칼과 C₂ 라디칼에서 당량비에 따라 증가하는 경향을 보여준다. 따라서 분해능을 높이기 위해 라디칼 강도의 세기와 당량비에 따른 기울기를 고려하여 RGV를 관측위치로 선정하였다. 후면부의 관측창을 통해 전달되는 화염의 자발광을 집광하여 광섬유로 전달하는 수광부는 Fig. 4와 같이 관측창을 통해 반대편의 버너 출구 끝단을 향해 초점을 맞추었다.

수광부의 정렬은 광섬유에서 빛을 주입시켜 수광부를 통해 비치는 상을 이용하여 정렬하였다. 수광부를 통해 광전증배관 시스템으로 전달된 신호는 100 Hz의 속도로 저장되고 1분 동안 실시간 누적 평균을 6000개의 데이터를 평균하여 저장하였다.

3. 결과 및 분석

3.1 당량비별 분광 계측 분석

Figure 8은 각 당량비에서의 가스화염 및 경유화염을 보여준다. 그림에서 볼 수 있듯이 가스화염의 경우 버너 출구부터 청염이 형성되고 당량비가 증가함에 따라 적염의 크기가 커지는 것을 볼 수 있는 것에 반해 경유화염은 전체적으로 적염만 관찰되고, 당량비의 증가에 따라 화염길이가 길어짐을 알 수 있다.

Figure 9와 Fig. 10은 AGV에서 분광계측 시스템을 이용하여 화염의 자발광을 분광기를 통해 각각 가스화염과 경유화염에서의 당량비별 파장에 따른 광 강도를 보여준다.

가스화염과 경유화염의 모두 계측 대상인 OH*, CH*, C₂* 라디칼의 강도가 각각 308 nm, 431 nm, 515 nm 근처에서 나타난다. 또한 파장 전체적으로 분포하는 광영역의 라디칼의 형성도 확인 할 수 있다. 이러한 광영역의 라디칼은 Soot에서 발생하는 라디칼의 영향이 크므로 그

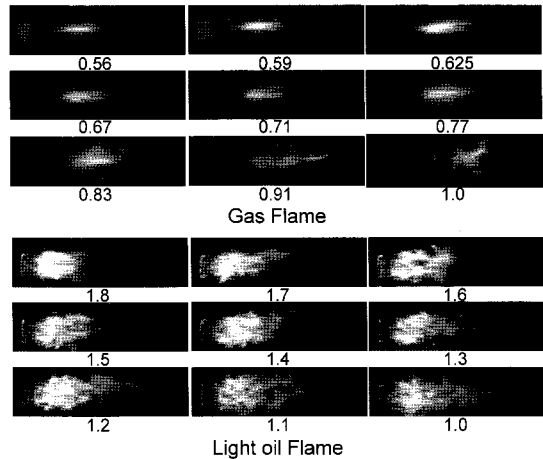


Fig. 8 Picture of Gas & Light oil Flames

형상은 온도와 파장의 영향을 받는 플랑크 곡선을 따르는 것으로 알려졌다[17].

따라서 가스화염의 경우 적염이 관찰되지 않는 낮은 당량비에서는 광영역 라디칼의 영향이 없지만 당량비가 증가함에 따라 광영역 라디칼의 영향이 증가하는 것을 알 수 있다. 반면 경유화염의 경우 모든 당량비에서 적염이 관찰됨으로 인해 광영역 라디칼의 영향이 가스화염의 영향보다 매우 크다. 따라서 가스화염의 경우 낮은 당량비에서는 CH*과 C₂*의 라디칼 강도가 같은 기저 영역에서 피크가 발생되지만 높은 당량비의 가스화염의 경우와 경유화염에서는 CH*라디칼의 강도보다 C₂*라디칼의 강도가 매우 크게 나타남을 알 수 있다.

3.2 광전증배관 시스템 계측 분석

연소배기ガ스와 라디칼과의 상관관계를 분석하기 위해 Fig. 11과 Fig. 12와 같이 각각 가스와 경유화염에서 당량비에 따른 배기ガ스의 O₂와 NO농도를 나타내었다. 그림에서 볼 수 있듯이 당량비가 증가함에 따라 O₂농도가 감소하고, NO농도는 증가하는 전형적인 경향을 관찰할 수 있다.

3.2.1 당량비별 광전증배관 계측 분석

Figure 13부터 Fig. 15는 광전증배관 시스템을 이용하여 가스 및 경유화염에서 당량비에 따른 OH*, CH*, C₂*의 개별 라디칼 강도를 나타낸다.

Figure 13의 OH*라디칼은 가스, 경유화염 모두 당량비의 증가에 따라 감소하는 경향을 보인다. 그러나 Fig. 14와 Fig. 15를 보면 CH*, C₂*은 가스화염의 경우 당량비의 증가에 따라 각 라디칼이 증가하지만 경유화염에서는 감소하는 경향을 보인다. 이는 가스화염에서 당량비의 증가에

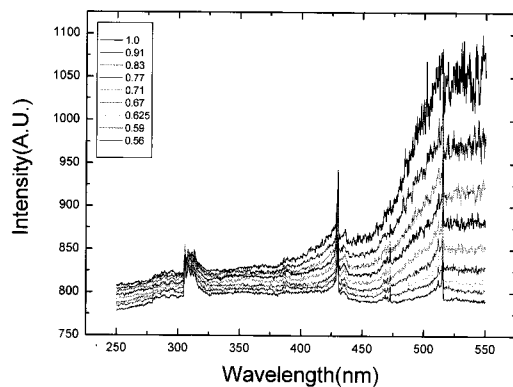


Fig. 9 Gas flame spectra at different excess air ratio

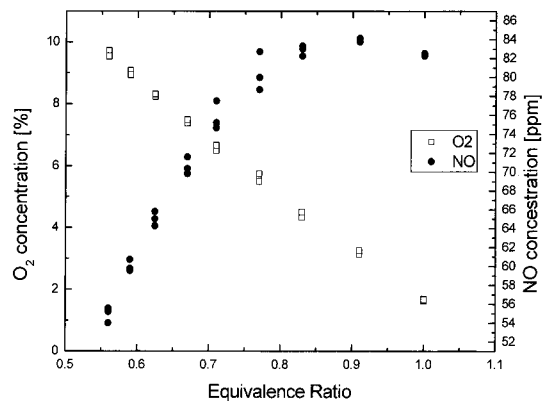


Fig. 11 O₂ & NO Emissions at various Excess Air Ratios of Gas flame

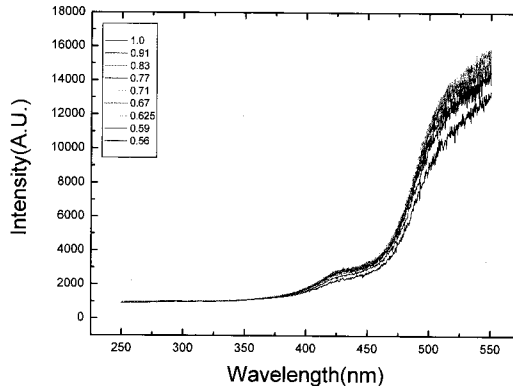


Fig. 10 Oil flame spectra at different excess air ratio

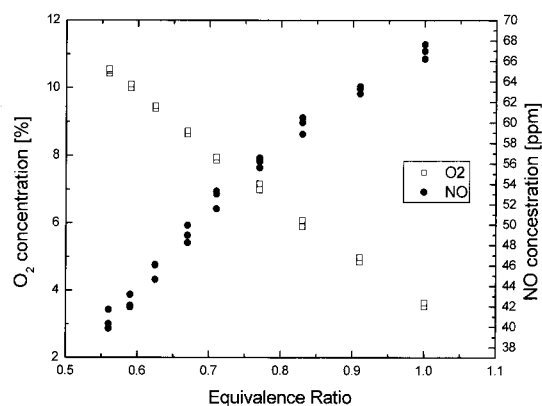


Fig. 12 O₂ & NO Emissions at various Excess Air Ratios of Oil flame

따라 화염의 길이가 짧아지고 적염의 영역이 작아지는 현상에 기인한 것으로 당량비가 작을 때에는 계측 영역 내에 적염이 포함되지만 당량비의 증가에 따라 적염의 영향이 작아짐으로 광영역 대 라디칼의 강도가 감소하기 때문에 발생하는 현상으로 사료된다. 적염에서 발생하는 광영역 대의 라디칼(CO_2 , Soot)은 검댕(Soot)의 방사로 인해 플랑크 곡선의 형상을 따르기 때문에 장파장대인 CH^* 와 C_2^* 라디칼에 영향을 크게 미치지만 단파장대인 OH^* 은 그 영향이 미약함을 알 수 있다. 이는 플랑크곡선의 특징으로 단파장대에는 온도별 크기의 차이가 매우 작고, 그 강도역시 미약하지만 파장이 길어질수록 온도에 대한 영향이 커지고, 강도가 매우 커지기 때문이다.

Figure 16부터 Fig. 18은 앞서 계측한 개별라디칼을 기초로 하여 OH^*/CH^* , C_2^*/CH^* , C_2^*/OH^* 의 라디칼 비를 나타내었다.

라디칼 비는 자발광 계측 시에 로내 압력, 온도 및 관측창의 오염 등의 외란에 대한 영향을 줄여주기 위해서 도입된 변수이다. Higgins[1-2] 등의 연구결과에 따르면 개별라디칼은 온도와 압력의 영향을 받음을 알 수 있다. 또한 관측창의 오염은 전체적인 광신호의 강도가 줄어드는 현상이 발생한다. 그러나 이러한 외란은 파장에 따라 다르게 영향을 미치기보다 전 영역에 걸쳐 영향을 미치기 때문에 라디칼 비를 적용하면 각 라디칼의 파장이 다르더라도 분자 분모에 동일한 영향이 미치므로 서로 상쇄되게 된다.

Figure 12를 보면 C_2^*/CH^* 의 경우 가스와 경유화염 모두 당량비의 증가에 따라 선형적으로 증가하는 경향을 보여주고 있다. 그러나 Fig. 11과 Fig. 13에서의 OH^*/CH^* , C_2^*/OH^* 은 가스와 경유화염에서의 라디칼비의 경향이 서로 반대로 나타

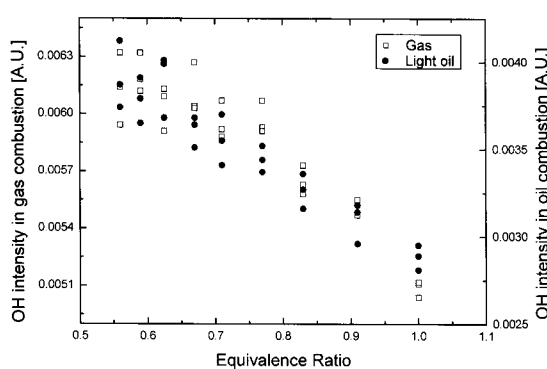


Fig. 13 OH^{*} Emission Intensity to Excess Air Ratio for a Different Fuel

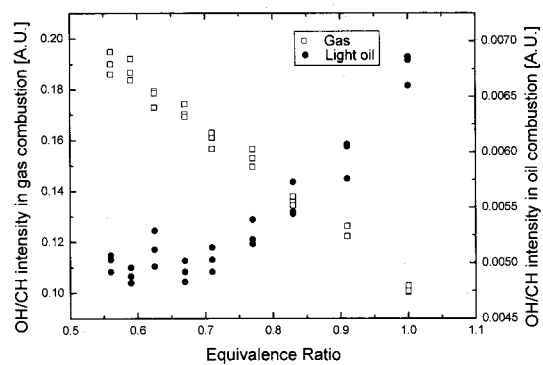


Fig. 16 OH^{*}/CH^{*} Emission Intensity ratio to Excess Air Ratio for a Different Fuel

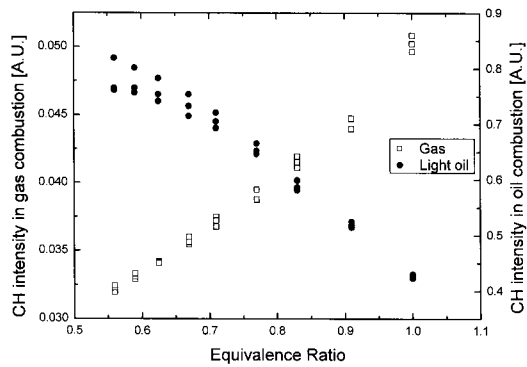


Fig. 14 CH^{*} Emission Intensity to Excess Air Ratio for a Different Fuel

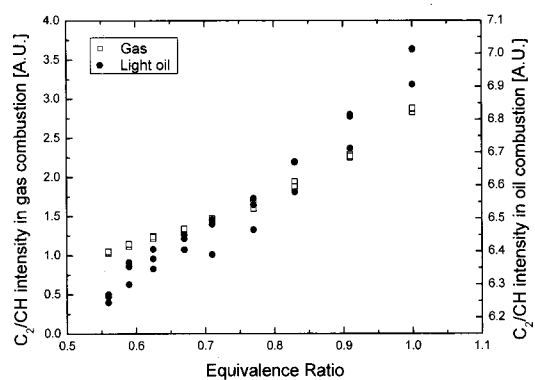


Fig. 17 C₂^{*}/CH^{*} Emission Intensity ratio to Excess Air Ratio for a Different Fuel

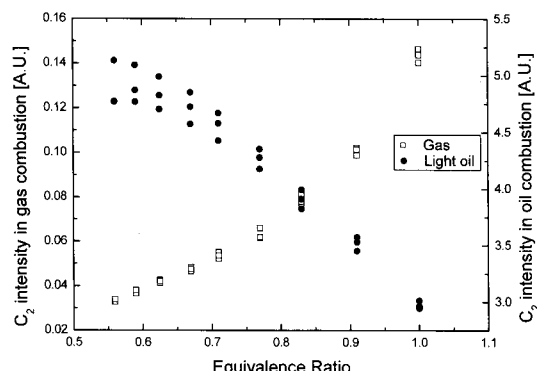


Fig. 15 C₂^{*} Emission Intensity to Excess Air Ratio for a Different Fuel

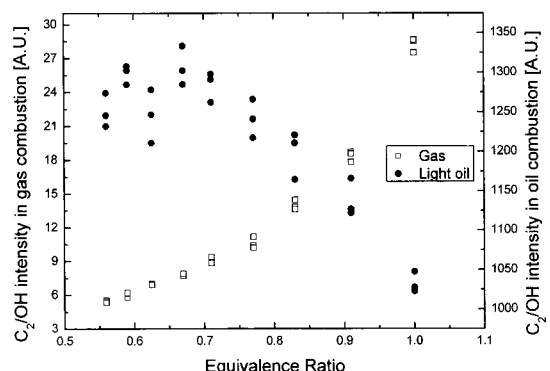


Fig. 18 C₂^{*}/OH^{*} Emission Intensity ratio to Excess Air Ratio for a Different Fuel

났다. 이는 개별라디칼의 광영역대 라디칼의 영향으로 사료되는데 C_2^*/CH^* 는 광영역대의 영향을 받는 C_2^* 와 CH^* 가 분자분모에 동시에 위치함으로서 광영역대의 영향이 사라지지만 OH^*/CH^* , C_2^*/OH^* 은 광영역대의 영향을 받는 인자가 분자분모에 하나씩 존재하기 때문에 광영역대의 영향이 작은 가스화염과 영향이 큰 경유화염에서 서로 반대 영향을 나타내는 것으로 판단된다.

위와 같은 결과에 따르면 C_2^*/CH^* 는 가스와 경유화염에서 당량비의 증가에 따라 선형적으로 증가하는 동일한 경향을 보임으로서 당량비의 정성적 인자로 사용할 수 있음을 알 수 있다.

또한 OH^*/CH^* , C_2^*/OH^* 은 열적 질소산화물(Thermal NO_x)의 가장 큰 영향을 미치는 온도의 영향을 포함하고 있고, 열적 질소산화물의 중간생성물인 OH의 농도영향도 포함하고 있다. 그 외 연료 질소산화물(Fuel NO_x)과 급속생성 질소산화물(Prompt NO_x)의 중간 생성물인 OH 및 CH와 C_2 의 농도의 영향도 포함하고 있다. 따라서 OH^*/CH^* , C_2^*/OH^* 은 화염의 질소산화물의 배출농도의 변화를 예측하는 인자로서 사용할 수 있는 가능성을 제시 할 수 있다. 그러나 Fig. 20에서 확인 할 수 있듯이 OH^*/CH^* 는 버너의 NO_x의 증가에 따라 지수함수적인 경향을 나타냄으로써 NO_x의 정성적인 인자로 사용할 수 있지만 C_2^*/OH^* 은 NO_x의 정성적인 인자로 사용하기 위해서는 추가적인 실험이 필요하다.

3.2.2 연소제어 적용

본 연구 결과를 통해 분석한 라디칼의 영향을 Fig. 19와 같이 연소제어 기법에 적용하면 화염자발광을 통해 라디칼 계측을 하여 당량비와 질소산화물의 예측농도를 라디칼 강도비와의 함수로 표현하고 현재의 화염상태를 수치화하여 표현한다. 이를 최적화 기법인 직접 탐색법(Direct Set Method)에 적용하여 벨브를 조절함으로써 버너의 최적 운전조건을 찾아내어 시스템을 자동화 시키도록 한다.

이는 기존의 수동적인 제어 방식과 다르게 화염의 상태를 실시간으로 파악함으로서 버너의 운전 중 외란에 의해 버너의 운전상태가 변하더라도 능동적으로 버너운전조건을 조절하여 최적의 연소조건을 유지할 수 있는 장점이 있다.

4. 결 론

가스 및 경유연료의 난류확산화염에서의 당량비에 따른 라디칼 자발광 강도를 실험적으로 계측하고 특성을 분석한 결과는 다음과 같다.

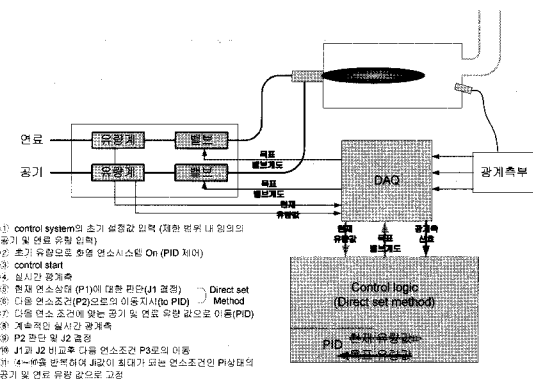


Fig. 19 Schematic diagram of Combustion Control

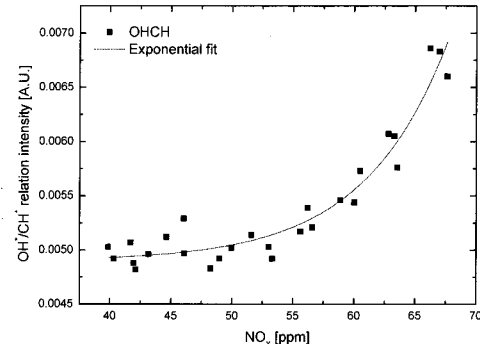


Fig. 20 OH*/CH* Radical Intensity ratio to NO_x Emission of Oil flame

(1) 개별 라디칼의 자발광 강도는 경유화염의 경우 당량비의 증가에 따라 모든 라디칼이 선형적으로 감소하는 경향을 보이고, 가스화염의 경우 당량비의 증가에 따라 OH^* 은 선형적으로 감소하고, CH^* , C_2^* 는 선형적으로 증가하는 경향을 보인다.

(2) 라디칼비의 경우 C_2^*/CH^* 라디칼이 가스, 경유화염에서 당량비의 증가에 따라 강도가 선형적으로 증가하는 동일한 경향을 보이고, OH^*/CH^* 의 경우 당량비의 증가에 따라 가스화염은 선형적으로 감소하는 경향을 보이고, 경유화염에서는 증가하는 경향을 보여준다. 반면 C_2^*/OH^* 은 OH^*/CH^* 와 반대의 경향을 보여준다.

(3) 개별 라디칼보다는 라디칼비가 외란의 영향이 적기 때문에 제어 인자로서는 라디칼 비가 더 적당하다.

(4) C_2^*/CH^* 은 당량비의 증가에 따라 가스화염과 경유화염의 경우 모두 선형적으로 증가하는 경향을 보여줌으로써 정성적인 당량비 계측 인자로서 적당하다.

(5) OH^*/CH^* 은 NOX의 증가에 따라 지수함수적 상관관계가 있음을 밝혀냈고, 이는 OH^*/CH^* 가 질소산화물의 농도를 예측할 수 있는 인자로서 사용될 수 있는 가능성이 제시되었다. 한편 C_2^*/OH^* 은 질소산화물의 계측인자로서의 그 상관관계를 규명할 예정이다.

후 기

본 연구는 산업자원부 에너지관리공단의 에너지/자원기술개발사업의 지원으로 수행되었습니다.

참고문현

- [1] 한국생산기술연구원, 2005, “초 저공해 연소를 위한 실시간 능동제어 시스템 개발” 에너지·자원기술개발사업 보고서
- [2] 신명철, 김세원, 류태우, “난류화산화염에서의 라디칼 자발광 계측에 관한 연구”, 대한기계학회 2005년도 추계학술대회 논문집, 2005.
- [3] 한국생산기술연구원, “초 저공해 연소를 위한 실시간 능동제어 시스템 개발” 에너지·자원기술개발사업 보고서, 2006.
- [4] B. Higgins., M. Q. McQuay., F. Lacas., J. C. Rolon., N. Darabiga. and S. Candel., "Systematic Measurements of OH Chemiluminescence for Fuel-lean, High-pressure, Premixed, Laminar Flames," Fuel Vol.80, 2001, pp. 67-74.
- [5] B. Higgins., M. Q. McQuay., F. Lacas. and S. Candel., "An Expreimental Study on the Effect of Pressure and Strain Rate on CH Chemiluminescence of Premixed Fuel-lean Methan/air Flames," Fuel Vol.80, 2001, pp. 1583-1591.
- [6] J. Kohima., Y Ikeda. and T. Nakajima., "Spatially Resolved Measurement of OH*, CH*, and C2* Chemiluminescence in the Reaction Zone of Laminar Methane/air Premixed Flames," Proc. of the Combustion Institute, Vol.28, 2000, pp.1757-1764.
- [7] Y. Ikeda., J. Kojima., T Nakajima., F Akamatsu. and M. Katsuki., "Measurement of the Local Flamefront Structure of Turbulent Premixed Flames by Local Chemiluminescence," Proc. of the Combustion Institute, Vol.28, 2000, pp. 343-350.
- [8] M. R. Morrell., J. M. Seitzman., M. Wilensky, E. Lubarsky., J. Lee., and B Zinn., "Interpretation of Optical Emissions for Sensors in Liquid Fueled Combustors," Proc. 39th Aerospace Sciences Meeting & Exhibit, 2001.
- [9] T. M. Muruganandam., B. Kim., R. Olsen., M. Patel., B. Roming. and J. M. Seizman, "Chemiluminescence Based Sensor for Tubine Engin,s," Proc. 39th Aerospace Sciences Meeting & Exhibit, 2003.
- [10] S. Keyvan., R. Rossow., C. Romero. and X. Li.. "Comparison between Visible Near-IR Flame Spectra from Natural Gas Fired Furnace for Blackbody Temperature Measurements," Fuel vol.83, 2004, pp. 1175-1181.
- [11] C. Romero., X. Li., S. Keyvan. and R. Rossow., "Spectrometer-based Combustion Monitoring for Flame Stoichiometry and Temperature Control," Applied Thermal Engineering Vol. 25, 2004, pp. 659-676.
- [12] R. Obertacke., H. Winrich., F. Winrich., A. Leipertz., "A New Sensor System for Industrial Combustion Monitoring and Control using UV Emission Spectroscopy and Tomography," Combust. Sci. and Tech Vol. 121, 1996, pp. 133-151.
- [13] L. Zimmer, S. Tachibana, T. Yamamoto, Y. Kurosawa and K. Suzuki, "Evaluation of Chemiluminescence as Sensor for Controlling Lean Premixed Combustion," Proc. 4th Symp. on Smart Control of Turbulence, 2003.
- [14] Y. Ikeda and L. Zimmer, "Measurement of Combustion Fluctuations in Turbulent Premixed Methane/air Burner and High-pressure Oil Burner," Proceedings of the 3rd Symposium on Smart Control of Turbulence, pp. 55-68.
- [15] Y. Hardalupas., M. Orain., C. S. Panoutsos, A.M.K.P. Taylor, J. Olofsson, H. Seyfried, M. Richter, J. Hult, M. Alden, F. Hermann and J. Klingmann, "Chemiluminescence sensor for local equivalence ratio of reacting mixtures of fuel and air(FLAMESEEK)," Applied Thermal Engineering, Vol.24, 2004, pp. 1619-1632.
- [16] N. Docquier, S. Candel, "Combustion control and sensors: a review," Proc. in Energy and Combustion Science, Vol. 28, 2002, pp. 107-150.
- [17] O. Farias, Ph. Ngendakumana, "Flame Spectroscopy and the NOx formation mechanisms in fuel oil boilers," Bull. Soc. Chim. Belg., Vol. 105, No. 9., 1996.